



IRANIAN SOCIETY of
CRYSTALLOGRAPHY
and MINERALOGY

Vol. 13, No. 1, 1384/2005 Spring & Summer

IRANIAN JOURNAL OF
CRYSTALLOGRAPHY
and MINERALOGY

Type of Garnet Zoning in Skarns of Ghohroud Intrusion, south of Kashan

F. Masoudi, B. Mehrabi, F. Farazdel

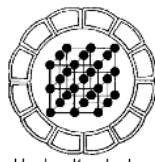
Department of Earth Sciences, Tarbiat Moalem University, Tehran, Iran.

E-mail: masoudi@saba.tmu.ac.ir

(Received: 8/9/2004, received in revised form: 20/1/2005)

Abstract: Next to the Ghohroud granitic intrusive body in the south of Kashan, skarns are outcropped, of which some contain garnet crystals with obvious zoning. In order to investigate characteristics of this zonation, garnet crystals were analyzed from core to rim by EDX point analysis, using scanning electron microscope. Obtained data show that garnet crystals belong to grandite (grassolar-andradite) series and oscillatory and complex zoning are widespread. Variation of Al and Fe from center to rim of analyzed crystal indicates sharp variation in X_{Gras} in grandite solid solution series. Therefore, garnet zoning formed during crystal growth and diffusion has an insignificant effect. However, based on the BSE images, oscillatory zoning has been disturbed by fluid infiltration next to fractures. Pattern of variation on X_{Gras} from core to rim indicates that the main factor on formation of oscillatory zonings was immiscibility in grandite series which followed by changes in hydrothermal solution composition. Sharp micron-scale boundaries in zonation and preservation of zoned garnet reveal that skarns have not experienced thermal overprint after formation and emplacement of pluton and formation of skarns were not followed by further thermal geological event like regional metamorphism in the area.

Keywords: *Skarn, Garnet, Zoning, Ghohroud intrusion.*



نوع ساختمان منطقه‌ای گارنت در اسکارنهای

توده نفوذی قهرود، جنوب کاشان

فریبهرز مسعودی، بهزاد مهرابی، فرانک فرازدل

گروه زمین شناسی دانشگاه تربیت معلم

پست الکترونیکی: masoudi@saba.tmu.ac.ir

(دریافت مقاله ۸۳/۶/۱۷، دریافت نسخه نهایی ۸۳/۱۰/۳۰)

چکیده: در حاشیه توده نفوذی قهرود در جنوب کاشان، رخمنونهایی از اسکارن دیده می‌شود که در برخی از آنها بلورهای گارنت ساختمان منطقه‌ای واضحی را نشان می‌دهند. به منظور تعیین نوع ساختمان منطقه‌ای در این گارنتها بررسی نقطه‌ای SEM از مرکز به سمت حاشیه بلور انجام شد. نتایج حاصل نشان داد که گارنتها متعلق به سری گراندیت (گروسولار- آندرادیت) و ناحیه- بندي در آنها نوسانی و پیچیده است. چگونگی تغییر عناصر Al و Fe از مرکز به سمت حاشیه گویای آن است که نوسان از مرکز تا حاشیه بلور در میزان دو عضو انتهایی گروسولار و آندرادیت در سری محلول جامد گراندیت رخ داده است، لذا ساختمان منطقه‌ای گارنتها هنگام رشد بلور به وجود آمده و فرایند نشر در تشکیل آنها نقشی نداشته است. با این وجود ترکیب گارنت در حوالی برخی از شکستگیها متفاوت بوده و این تفاوت در تصویر BSE کانی دیده می‌شود. لذا ساختمان منطقه‌ای ایجادشده در اثر نشت آبگونها در کانی بهصورت موضعی بهم خورده است. الگوی تغییرات X_{Grs} از مرکز به حاشیه بلور نشان می‌دهد که عامل اصلی ایجاد ساختمان منطقه‌ای نوسانی در گارنتهای منطقه، نآمیختگی در سیستم دوتایی گروسولار- آندرادیت بوده که با تغییر در ترکیب آبگونهای گرمایی ادامه یافته است. حفظ ساختمان منطقه‌ای گارنت در مقیاس چند میکرون و وجود مرزهای ناگهانی در تغییر ترکیب شیمیایی بلورهای گارنت نشان‌دهنده آن است که اسکارنهای منطقه پس از تشکیل، تحت تأثیر گردایان گرمایی بعدی، مانند دگرگونی ناحیه‌ای، که باعث ایجاد نشر و از بین رفتن ساختمان منطقه‌ای شود، قرار نگرفته‌اند.

واژه‌های کلیدی: اسکارن، گارنت، ساختمان منطقه‌ای، توده نفوذی قهرود.

مقدمه

مطالعات کمی ساختمان منطقه‌ای شیمیایی در کانیهای آذرین و دگرگون، به منظور تعیین و بررسی چگونگی تشکیل آنها، از اوایل دهه ۷۰ میلادی، یعنی همزمان با ظهور میکروسکوپ الکترونی آغاز شد. قبل از این زمان، بررسی ساختمان منطقه‌ای تنها از طریق مطالعه رنگ کانیها (مثل پیروکسن، آمفیبول، تورمالین)، تفاوت ضریب شکست درون بلوری (مثل گارنت) و تفاوت در زاویه خاموشی (مثل پلاژیوکلاز) امکان‌پذیر بود. اولین مطالعات کمی منتشر شده از ساختمان منطقه‌ای، در کانیهای دگرگونی، بر روی ساختمان منطقه‌ای در گارنتهای [۱ تا ۶].

ساختمان منطقه‌ای گارنت در سنگهای دگرگونی می‌تواند در طی فرایندهای متفاوتی چون رشد بلور [۷ و ۸]، نشر [۹ تا ۱۱] و یا در اثر نشت آبگونهای در بلورهای گارنت قبلًا تشکیل شده [۱۲ و ۱۳]، به وجود آید. ساختمان منطقه‌ای رشدی طی تبلور کانی و انواع ساختمان منطقه‌ای نشتشی یا ساختمان منطقه‌ای ایجاد شده در اثر آبگونهای ثانوی بعد از تبلور گارنت به وجود می‌آیند. اگر چه تغییرات به وجود آمده طی رشد، مهمترین عامل تشکیل ساختمان منطقه‌ای گارنت است، اما فرایندهای نشر و نشت آبگونهای پس از تبلور گارنت باعث می‌شود که تعادل اولیه گارنت از بین برود. بنابراین به سادگی نمی‌توان از این کانی در تعیین شرایط حاکم در زمان رشد بلور، دمای دگرگونی و یا مسیر P-T استفاده کرد [۱۴ تا ۱۷]. لذا استفاده و تعبیر و تفسیر داده‌های حاصل از آنالیز گارنتهای زونه به تعیین نوع ساختمان منطقه‌ای گارنت بستگی دارد.

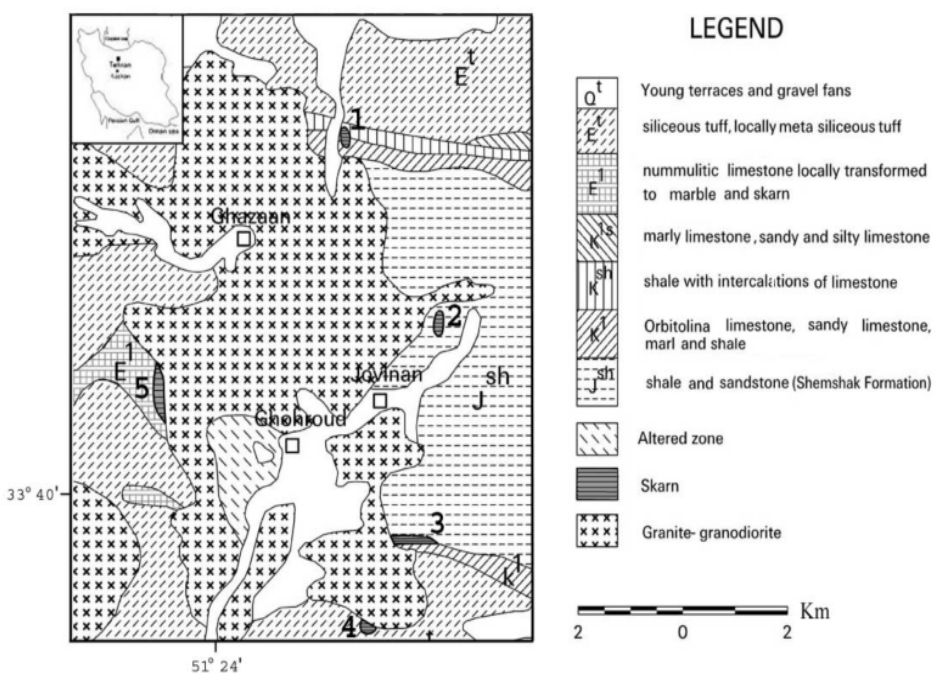
در مجاورت توده نشتشی قهرود جنوب کاشان، گارنتهایی در اسکارنهای تشکیل شده که در برخی موارد ساختمان منطقه‌ای بارزی از خود نشان می‌دهند. در این تحقیق با استفاده از تجزیه نقطه‌ای SEM ساختمان منطقه‌ای گارنتهای موجود در این اسکارنهای مورد مطالعه قرار گرفت و عوامل تشکیل آن بررسی شده‌اند.

زمین شناسی عمومی

در جنوب شهر قمص و روی کمربند آتشفسانی ارومیه - دختر، توده نشتشی تقریباً یکنواختی رخنمون دارد. این توده نشتشی با مساحت تقریبی حدود ۶۵ کیلومتر مربع و با سن میوسن میانی در مجموعه‌ای از سنگهای ژوراسیک، کرتاسه و ائوسن نفوذ کرده است (شکل ۱). مطالعات ژئوشیمیایی براساس عناصر اصلی مشخص کرده است که این توده از نوع متالومینوس و کالکوالکالن بوده و در گروه گرانیتوئیدهای نوع I قرار دارد و علت تشکیل آن را فرونش پوسته اقیانوسی نئوتیس به زیر صفحه ایران مرکزی و برخورد دو بلوك عربستان و ایران می‌دانند [۱۸ تا ۲۳].

قدیمی‌ترین سنگهای مشاهده شده در مجاورت توده سازند شمشک با سن ژوراسیک است که بیشتر در شرق توده رخنمون دارند. این واحد مجموعه‌ای شامل ضخامت قابل ملاحظه از لایه‌های ماسه سنگی ریزدانه سبز زیتونی تا خاکستری تیره، سیلیستون و شیلهای ورقه‌ورقه سیاه رنگ است که در برخی از نقاط با میان لایه‌های آهکی - شیلی همراه است. سنگهای مذکور در اطراف توده نشتی قهروود دستخوش دگرگونی مجاورتی شده‌اند. برخی از متاسنیدستون‌ها به دلیل لیتولوژی خاص خود آثار دگرگونی را فقط به صورت تبلور مجدد و درشتتر شدن دانه‌های کوارتز و تشکیل زوایای ۱۲۰ درجه بین آنها، نشان داده‌اند. در برخی از نقاط که سنگ مادر متاسنیدستون، آركوز، گریوک و تا حدی پلیتی بوده است، کانیهای آندالوزیت، بیوتیت و مسکویت نیز قابل تشخیص است و هورنفلس‌های آندالوزیت‌دار به صورت محدود تشکیل شده‌اند.

در شمال و جنوب سنگهای ژوراسیک، مجموعه‌ای از سنگهای کرتاسه، شامل آهکهای اربیتولین‌دار، ماسه سنگهای آهکی، آهک ماسه‌ای دولومیتی و آهک اولیتی با فسیل اوربیتولین همراه با لایه‌های نازک آهک شیلی متعلق به کرتاسه زیرین رخنمون دارند.



شکل ۱ موقعیت اسکارنهای مورد مطالعه در نقشه زمین‌شناسی ساده‌شده منطقه (اقتباس از نقشه زمین‌شناسی ۱:۱۰۰,۰۰۰ کاشان).

آهکهای کرتاسه با دگرشیبی زاویه‌ای به واسطه چند متر میکرومتریک نگلومرای قاعده‌ای ببروی لایه‌های قدیمی‌تر قرار گرفته‌اند. آهکهای کرتاسه در محل تماس با توده نشتی قهرود، دستخوش دگرگونی مجاورتی شده و در برخی از نقاط به اسکارن تبدیل شده‌اند. نفوذ محلولهای کانسارساز به درون این اسکارنهای موجب ایجاد رگه‌های سیاه رنگ مانگیتیت در اسکارنهای جنوب شرق قهرود شده است.

در بخش شمالی، غربی و جنوبی، توده نشتی با سنگهای اثوسن در تماس است. سری آتشفسانی رسوبی اثوسن، آمیخته‌ای از سنگهایی با بافت، ساخت و ترکیب شیمیایی بسیار متنوع در سطح وسیع است که به طور دگرشیب روی آهکهای کرتاسه زیرین و گاهی تشکیلات شمشک قرار گرفته است. بخش‌های رسوبی و آذرآواری این سری، لایه‌بندی کاملاً واضحی دارد، ولی گدازه‌ها و برشهای آتشفسانی غالباً توده‌ای هستند. این مجموعه دارای ضخامت قابل توجهی بوده و شامل توفهای دگرگون شده سیلیسی، توفهای اسیدی، توفیتها، توفهای مارنی، توفهای آهکی و گاهی کنگلومرای آتشفسانی و توف برشی است.

در جنوب و جنوب شرق قهرود، مجموعه‌ای مرکب از سنگ آهک و سنگهای آذرآواری در بخش بالایی سنگهای آتشفسانی - رسوبی اثوسن قرار گرفته است که فسیلهای اثوسن بالایی و شروع الیگوسن در آنها یافت می‌شود. سن قدیمی‌ترین لایه‌های فسیل‌دار سنگهای اثوسن در منطقه، اثوسن میانی است [۲۴].

اسکارنهای

نفوذ استوک گرانوودیوریتی - تونالیتی قمر - قهرود موجب دگرگونی مجاورتی سنگهای اطراف خود شده و مجموعه‌ای از سنگهای دگرگونی مجاورتی شامل متاسنستون، متاپلیت، متاولکانیت و اسکارن را به وجود آورده است.

اسکارنهای در ۵ منطقه اصلی در حاشیه توده نشتی قهرود مطالعه شده‌اند. این مناطق در شکل ۱ با شماره مشخص شده‌اند. پراژن‌کانیهای در هر منطقه تا حدی با مناطق دیگر متفاوتند اما اسکارنهای مطالعه شده براساس نوع سنگهایی که اسکارن جایگزین آنها می‌شوند، عمدتاً از نوع برون اسکارن هستند. در این منطقه درون اسکارن نیز گزارش شده است [۲۵]. بر اساس ترکیب شیمیایی، اسکارنهای منطقه، عمدتاً از نوع اسکارنهای کلسیک بوده و تنها اسکارن واقع در جنوب شرق قهرود (شمال غرب کوه کلاه برفی) از نوع اسکارن سیلیکاته است. با توجه به ترکیب کانی‌شناسی، سنگ میزان اسکارنهای منطقه ۲، آهکی و سنگ میزان اسکارنهای منطقه ۱، ۳ و ۵، آهک دولومیتی بوده است. سنگ میزان اسکارنهای منطقه ۴، به احتمال قوی سنگهای آذرآواری اپی‌کلاستیک و ولکانیت‌ها هستند.

رخنمون اسکارن‌ها اغلب محدود و زون‌بندی خاصی در آنها قابل تشخیص نیست، لذا اسکارنهای مطالعه شده بر اساس کانی‌شناسی، بر اساس نام و موقعیت جغرافیایی تفکیک شده‌اند (جدول ۱).

جدول ۱ مشخصات اسکارنهای منطقه مورد مطالعه

موقعیت جغرافیایی	نام اسکارن	کانی شناسی	نوع سنگ مادر و سن آن
شمال شرق قهروند، جنوب شرق قمصر (شکل ۴-۵، منطقه ۱)	گارنت اسکارن پیروکسن گارنت اسکارن	کلسیت، دولومیت، گارنت، اپیدوت، اسفن دولومیت، گارنت، کلینوپیروکسن	آهک‌های کرتاسه
شمال شرق قهروند، شمال شرق جوینان (منطقه ۲ در شکل ۱)	اپیدوت پیروکسن گارنت اسکارن	گارنت، کلینوپیروکسن، اپیدوت، کوارتز، کلسیت، کلریت، وزوویانیت، اسفن، اکتینولیت	
جنوب شرق قهروند، (منطقه ۳ در شکل ۱)	گارنت مگنتیت اسکارن	مگنتیت، گارنت، کوارتز، تالک، کلسیت	آهک‌های کرتاسه
جنوب شرق قهروند، شمال غرب کوه کلاه برفی (منطقه ۴ در شکل ۱)	پیروکسن گارنت اسکارن پیروکسن اسکارن اپیدوت اسکارن	گارنت، دیبوپیسید، کوارتز، پلازیوکلاز کوارتز، دیبوپیسید اپیدوت، کوارتز، پلازیوکلاز، اسفن، آکالی فلدسپات	ولکانیت‌ها و سنگهای آذرآواری ائوسن
شمال غرب قهروند، (منطقه ۵ در شکل ۱)	گارنت پیروکسن اسکارن گارنت اپیدوت اسکارن گارنت اسکارن پیروکسن ولاستونیت گارنت اسکارن	کلینوپیروکسن، گارنت، کلسیت، کوارتز، کلریت، اکتینولیت پیودوت، کلسیت، گارنت، وزوویانیت، کلریت، کوارتز، البیت، اسفن، تالک گارنت، کلسیت، کوارتز، تالک، کلریت گارنت، ولاستونیت، کلسیت، وزوویانیت، کلینوپیروکسن	

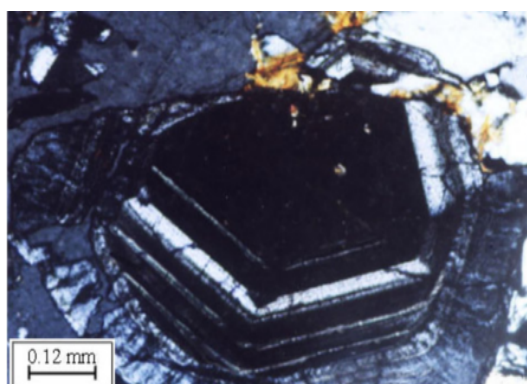
گارنت

کانی گارنت یکی از کانیهای تشکیل دهنده اغلب اسکارنهای منطقه است. اما گارنتهای زونه تنها در اسکارنهای شمال شرق جوینان، که در نقشه با شماره ۲ مشخص شده، یافت می‌شوند. گارنتهای موجود در اسکارنهای مناطق ۱، ۳ و ۴ همسانگرد و فاقد ناحیه‌بندی هستند.

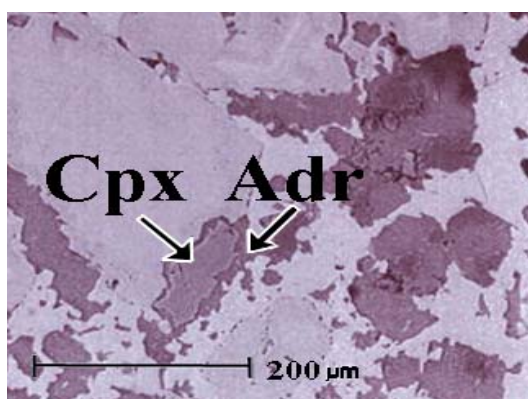
اسکارنهای شمال غرب قهروند (منطقه ۵) به صورت همسانگرد و ناهمسانگرد مشاهده می‌شوند ولی عمدها فاقد زون‌بندی بوده و تنها تعداد محدودی از گارنتهای دارای حاشیه زونه هستند. با وجود اینکه سنگ میزان اسکارنهای این منطقه از اسکارنهای شمال شرق جوینان است ولی ترکیب شیمیایی گارنتهای این منطقه، تفاوت کمی با اسکارنهای شمال شرق جوینان دارد. میزان اسپسارتین در این ناحیه بسیار کم شده و در برخی از نمونه‌ها اصلاً

وجود ندارد. این در حالی است که مقدار بسیار ناجیزی از عضو انتهایی پیروپ در ترکیب محلول جامد وارد شده است.

اسکارنهای شمال شرق جوینان به صورت اپیدوت پیروکسن گارنت اسکارن هستند. گارنتهای قهوهای رنگ، خود شکل و درشت بلور به آسانی در اسکارنهای منطقه قابل تشخیص است. از نظر میکروسکوپی گارنتهای مذکور متعلق به سری اوگراندیت و عمدهاً زونه بوده و به صورت تناوی از گارنتهای همسانگرد و ناهمسانگرد هستند. گارنتهای این منطقه از نظر ترکیب شیمیایی مشکل از درصد بالایی از گروسو لار ($\text{Ca}_3\text{Al}_2\text{Si}_3\text{O}_{12}$), آندرادیت ($\text{Ca}_3\text{Fe}_2\text{Si}_3\text{O}_{12}$) و درصد کمی اسپیسارتین ($\text{Mn}_3\text{Al}_2\text{Si}_3\text{O}_{12}$) هستند. به نظر می‌رسد که گارنتهای موجود در اسکارنهای شمال شرق جوینان طی دو نسل به وجود آمده‌اند. گارنتهای نسل اول در مراحل اولیه تشکیل اسکارن همراه با پیروکسن به وجود آمده و ساختمان منطقه‌ای در آنها مشاهده شده است (شکل ۲). گارنتهای نسل دوم حاصل دگرگونی برگشتی بوده و از تبدیل کلینوپیروکسنها حاصل شده‌اند (شکل ۳). آثار خوردگی پیروکسنها در کنار بلور گارنت و حضور ادخالهای کلینوپیروکسن که در داخل گارنت حبس شده‌اند، نشانه تشکیل گارنت از پیروکسن در طی دگرگونی برگشتی است. این نسل از گارنتها قادر ساختمان منطقه‌ای هستند.



شکل ۲ تصویر میکروسکوپی از نسل اول بلورهای گارنت در اپیدوت پیروکسن گارنت اسکارن شمال شرق جوینان. حاشیه بلور گارنت طی دگرگونی برگشتی به ایدوکراز تبدیل شده است.

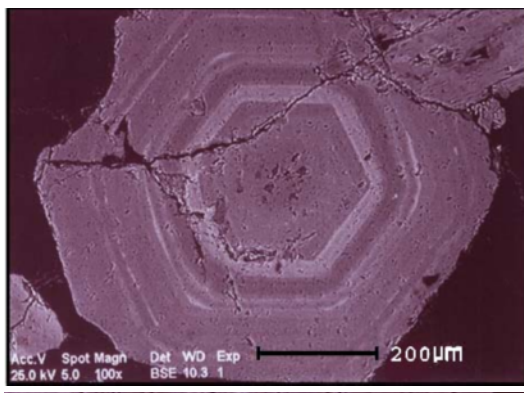


شکل ۳ تصویر BSE از نسل دوم بلورهای گارنت که از تبدیل بلورهای کلینوپیروکسن در اپیدوت پیروکسن گارنت اسکارن شمال شرق جوینان به وجود آمده‌اند.

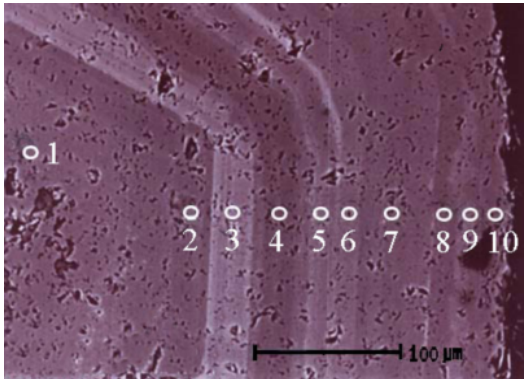
Cpx: کلینوپیروکسن
Adr: آندرادیت

الگوی ساختمان منطقه‌ای گارنت

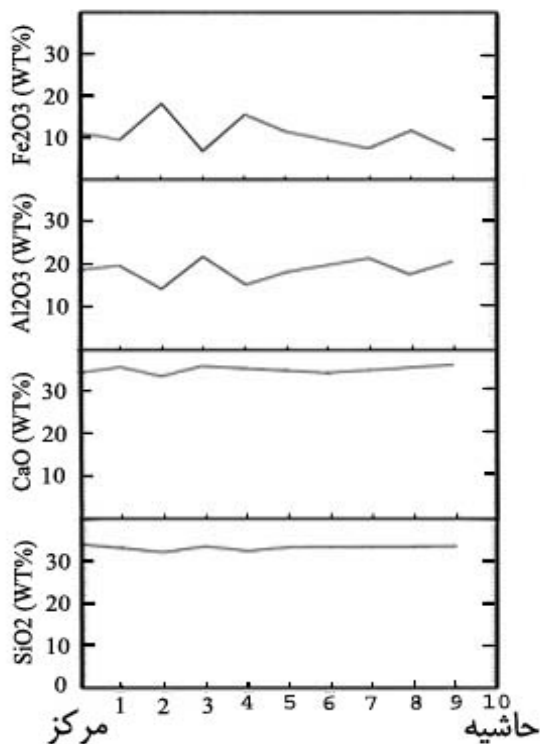
تجزیه نقطه‌ای به روش EDX به وسیله دستگاه میکروسکوپ الکترونی (SEM) فیلیپس مدل XL30 روی نمونه‌های نازک صیقلی تهیه شده دارای گارنت‌های زونه اسکارنهاش شمال شرق جوینان انجام شد. شکل ۴ تصویر BSE یک بلور گارنت با زون‌بندی مشخص از اسکارنهاش شمال شرق جوینان را نشان می‌دهد. در این شکل، افزایش درجه روشنی در بلور گارنت، نشانه افزایش عضو انتهایی آندرادیت درسری محلول جامد گروسولار - آندرادیت بوده و بر عکس کاهش روشنی، نشانه افزایش عضو انتهایی گروسولار درسری محلول جامد است. شکل ۴ به خوبی گویای ناحیه‌بندی رشدی نوسانی در بلور گارنت است. در این شکل مرز بین دو زون کاملاً مشخص می‌باشد که نشانه تغییرات ناگهانی در ترکیب شیمیایی مواد تشکیل دهنده گارنت است. در شکل ۵ مکان تجزیه نقطه‌ای با دواير سفید رنگ مشخص شده است. تعداد ۱۰ تجزیه نقطه‌ای از مرکز به سمت حاشیه بلور انجام شد. شکل ۶ تغییرات درصد وزنی اکسیدهای Fe₂O₃, Al₂O₃, CaO و SiO₂ را از مرکز به سمت حاشیه بلور نشان داده است. همان طور که در این شکل مشاهده می‌شود، درصد وزنی Fe₂O₃ و Al₂O₃ به شدت نوسان نشان می‌دهند. در نقاطی که درصد وزنی Fe₂O₃ (شاخص آندرادیت) کاهش یافته است، درصد وزنی Al₂O₃ (شاخص گروسولار) افزایش نشان می‌دهد و بر عکس. تغییرات این دو اکسید در مرکز بلور بیشتر و در حاشیه کمتر است. درصد وزنی SiO₂ و CaO از مرکز به حاشیه تغییرات ناچیزی را نشان داده و تقریباً ثابت است.



شکل ۴ تصویر BSE از یک بلور گارنت کاملاً زونه متعلق به سری گراندیت. افزایش درجه روشنی گویای افزایش عضو انتهایی آندرادیت درسری محلول جامد گروسولار - آندرادیت است.



شکل ۵ تصویر BSE از یک بلور گارنت با زون بندی رشدی نوسانی. دواير سفید رنگ نشان‌دهنده مکان تجزیه نقطه‌ای SEM است.



شکل ۶ نتایج تغییرات درصد وزنی اکسیدهای SiO_2 , CaO , Al_2O_3 , Fe_2O_3 , از مرکز به سمت حاشیه بلور.

بحث

نوع ساختمان منطقه‌ای گارنت

تغییرات در زمان رشد، پدیده نشر و نشت آبگونها در بلور می‌توانند به وجود آورنده پدیده ساختمان منطقه‌ای در گارنت‌ها باشند. الگوی ساختمان منطقه‌ای گارنتهای منطقه، تغییرات نوسانی را برای این گارنتها نشان می‌دهد. چگونگی تشکیل و خصوصیات هر یک از انواع ساختمان منطقه‌ای، در ادامه آورده شده تا بتوان انتساب الگوی نوسانی گارنتهای منطقه را با هر یک از انواع ساختمان منطقه‌ای تعیین کرد. ساختمان منطقه‌ای رشدی در اثر تغییرات ممتد و یا غیرممتد در ترکیب موادی که حین رشد کانی با سطح بلور تماس دارند، به وجود می‌آید. اصولاً ساختمان منطقه‌ای رشدی به پدیده تفریق در طول رشد نسبت داده شده است [۷ و ۲۶]. عمدتاً این نوع ناحیه‌بندی در درجات پائین تا متوسط دگرگونی مشاهده شده است. در سیستمهای بسته، پدیده ناحیه‌بندی رشدی به صورت غنی شدگی یک یا چند عنصر خاص در مرکز و کاهش تدریجی آنها به سمت حاشیه بلور همراه است. بر عکس، عناصر دیگری در

حاشیه بلور غنی شده و به سمت مرکز بلور از میزان آنها کاسته می‌شود. برای مثال گارنتهای زونه غنی از آلماندین دارای هسته غنی از منگنز و کلسیم و حاشیه غنی از منیزیم و آهن است [۱، ۷ و ۲۶، ۲۷]. نیمرخهای زنگ مانند اینگونه کانیهای، برای عناصر منگنز و کلسیم شاخص ناحیه‌بندی رشدی در آنهاست. در صورتی که پدیده انتشار پس از تشکیل اینگونه کانیهای زونه سریع باشد، ممکن است باعث از بین رفت ناحیه‌بندی رشدی اولیه شود. یاردلی [۸] با بررسی ساختمان منطقه‌ای رشدی گارنتهای رخساره استارولیت - سیلیمانیت، در زون پلیتی دالرادین در ایرلند به این نتیجه رسید که دگرگونی با درجه بالای مجدد اینگونه سنگها موجب سریعتر شدن پدیده انتشار و حذف ساختمان منطقه‌ای رشدی اولیه شده است. در سیستمهای باز و یا در سیستمهای که شرایط حاکم بر محیط در طی تبلور تغییر کند، تغییر عناصر، دیگر به صورت منظم و خطی نخواهد بود.

ساختمان منطقه‌ای در اثر نشر در بلورهای همگن و یا ناهمگنی که از قبل وجود داشته‌اند، ایجاد شده و با رشد همراه نیست. پدیده انتشار در اثر انتقال مواد از محلی به محل دیگر به وجود آمده و عامل اصلی آن، گرادیان پتانسیل شیمیایی ترکیبی و یا گرمایی است. ناحیه‌بندی انتشاری با توزیع مجدد اتمها در ساختمان بلوری و تغییر در فراوانی نسبی اتمها همراه است. این نوع ناحیه‌بندی عمدتاً در درجات دگرگونی بالا مشاهده می‌شود. گاهی دمای زیاد موجب انتشار درون بلوری کامل (انتشار حجمی) و همگن شدن نیمرخ رشد ناحیه‌بندی پیشین شده است. ناحیه‌بندی انتشاری در گارنتهای سری پیرالسپیت که در مناطقی با درجه دگرگونی بالا مشاهده شده‌اند، عمدتاً منحصر به حاشیه بلور بوده و تقریباً در سایر قسمتها ترکیب یکنواختی وجود دارد [۹ تا ۱۱]. در این نوع گارنتهای مرکز Mn در حاشیه بلور بیشتر از هسته آن است.

ایجاد ساختمان منطقه‌ای در اثر تراوش در شرایط حضور آبگونهای حاوی عناصر قابل جایگزین با عناصر موجود در گارنت انجام می‌شود. این نوع از ساختمان منطقه‌ای وابسته به توزیع درزها و شکستگیها در بلور و سنگ است و از این رو معمولاً تعادل ثانوی کامل در تمام بلور به طور یکسان مشاهده نمی‌شود [۱۵].

گارنتهای مطالعه شده تغییرات ناگهانی و نوسانی میزان عناصر را نشان می‌دهند که تکرار تغییرات مشخص گویای آن است که این پدیده در اثر پدیده نشر تشکیل نشده ولی در طی رشد، امکان ایجاد اینگونه نوسانات ممکن است. از این رو تغییرات طی رشد ایجاد کننده ساختمان منطقه‌ای گارنتهای بررسی شده است. با این وجود در حوالی برخی از شکستگیها ترکیب گارنت متفاوت بوده و این تفاوت در تصویر BSE کانی دیده می‌شود (شکل ۷). لذا

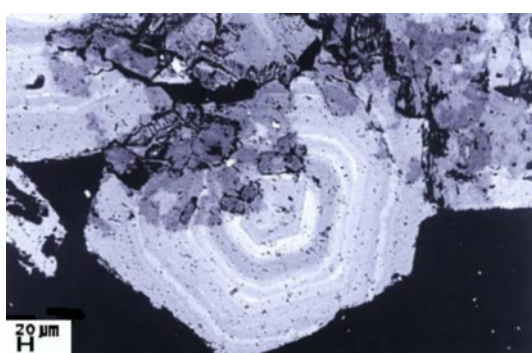
ساختمان منطقه‌ای رشدی ایجاد شده، در اثر نشت آبگونها در کانی به صورت موضعی از بین رفته است.

عوامل تشکیل ساختمان منطقه‌ای رشدی نوسانی

ناحیه‌بندی نوسانی کانیها در محیط‌های زمین‌شناسی گوناگون از دماهای بسیار پائین، در حد دیاژنز [۲۹ و ۳۰]، تا رژیمهای حرارتی بالا حتی هنگام تبلور ماقما [۳۱ و ۳۲] مشاهده می‌شود. امروزه مطالعات زیادی بر روی گارنتهای واحد ساختمان منطقه‌ای نوسانی انجام شده است و محققان عقیده دارند که بررسی ناحیه‌بندی نوسانی در گارنتهای سری گراندیت می‌تواند راهگشای شناخت سیستم حاکم بر محیط در زمان تشکیل اسکارن باشد [۳۳ و ۳۴]. به عبارت دیگر هر زون بازگو کننده شرایط حاکم بر آبگونها هیدرولترمال، در زمان تشکیل خود است [۳۵ تا ۴۱].

مطالعات انجام گرفته روی پاراژن‌کانیها و داده‌های آبگونهای درگیر در گارنتهای زونه موجود در اسکارنها نشان داده است که دمای تشکیل مرکز و حاشیه بلور این گونه گارنتهای مشابه یکدیگر است. بنابراین دما نمی‌تواند عامل ایجاد ناحیه‌بندی رشدی نوسانی در گارنتهای باشد [۳۸]. در مورد ناحیه‌بندی رشدی نوسانی در اینگونه گارنتهای دو دلیل اصلی می‌تواند وجود داشته باشد، که عبارتند از [۳۴]: (۱) عوامل خارجی، که عمدتاً تغییرات در ترکیب آبگونهای گرمابی است که گارنت از آنها رسوب می‌کند، (۲) ناامیختگی در سیستم دوتایی گروسولار-آندرادیت.

یکی از عوامل ناحیه‌بندی نوسانی در گارنتهای تغییر ترکیب آبگونهای گرمابی و یا فرآیندهایی است که در آبگونها نزدیک به سطح گارنت رخ می‌دهد. ترکیب آبگونهای موجود در منافذ یا ترکهای موجود در سنگ به وسیله عوامل خارجی (نشت) و داخلی (تجزیه کانیهای موجود در سنگ) کنترل می‌شود. ظاهراً در زونهایی که عضو انتهایی گروسولار افزایش نشان می‌دهد، کنترل کننده‌های داخلی و در زونهایی که عضو انتهایی آندرادیت افزایش نشان می‌دهد، کنترل کننده‌های خارجی نقش بیشتری دارند.



شکل ۷ تصویر BSE از اثر تراوش آبگونها در داخل شکستگی‌های بلور گارنت و تغییر در ساختمان منطقه‌ای گارنت.

عنصر Al عضو عناصر HFS^1 بوده و در آبگونهای گرمابی به کندی انتقال می‌یابد، بنابراین به نظر می‌رسد که تجزیه کانیهای محلی نقش عمده‌ای در تأمین یون Al^{3+} مورد نیاز جهت رشد گارنت داشته باشند. هنگامی که نرخ شارش آبگون و نرخ رشد گارنت کند باشد، تجزیه کانیهای محلی موجب می‌شود که میزان یون Al^{3+} در آبگونهای گرمابی ثابت بماند. کاهش سریع در تمرکز Al با افزایش سریع عضو انتهایی آندرادیت همراه است. در این مرحله، کنترل کننده‌های خارجی نقش مهمتری در تغییر ترکیب آبگونها دارد. یاردلی و همکاران [۴۱] عقیده دارند که دوره‌های متناوب شارش آبگون در سیستمهای گرمابی با جوشش همراه است. پدیده جوشش موجب اکسایش در آبگون و افزایش نسبت a_{Al}^{3+}/a_{Fe}^{3+} شده که همین امر موجب تمرکز بالای عضو انتهایی آندرادیت در محلول جامد شده است. گارنتهایی که در فاصله زمانی بین دوره‌های جوشش رشد می‌کنند، میزان گروسو لار بالاتری در سری محلول جامد دارند. در این زمان، فوگاسیتی اکسیژن به وسیله مجموعه کانیهای محلی پائین نگه داشته می‌شود و میزان fO_2^{3+} در ترکیب آبگون به دلیل کاهش فوگاسیتی اکسیژن، پائین می‌آید. در اینجا مجموعه کانیهای محلی به عنوان بافرهای فوگاسیتی اکسیژن عمل می‌کنند و میزان fO_2 را در حد پایین، ثابت نگه می‌دارند.

تمرکز بالای آندرادیت در سری محلول جامد، با رشد سریع گارنت و شارش سریع آبگونهای گرمابی همراه است [۳۷ و ۳۸]. افزایش fO_2 و آبگونهای با شوری بالا شرایط را برای افزایش عضو انتهایی آندرادیت در سری محلول جامد گراندیت مهیا می‌کند [۴۲]. کلچنکو و ولی [۳۳] با مطالعه ایزوتوب پایدار اکسیژن و آنالیز عناصر اصلی در گارنتهای زونه سری گراندیت، دو منشأ را برای آبگونهای گرمابی مؤثر در تشکیل گارنتها در نظر گرفتند. به عقیده این محققین، زونهای دربردارنده مقادیر بالای Fe^{3+}/Al دارای $O^{18}\delta$ بالای بوده و زونهای دربردارنده مقادیر پایین Fe^{3+}/Al دارای $O^{18}\delta$ پایینی هستند. مقدار بالای $O^{18}\delta$ نشان‌دهنده منشأ ماقمایی آبگونها بوده و بازگوکننده آن است که آبگونهای غنی از Fe از تبلور توده نشتی حاصل شده‌اند، و بر عکس مقدار پایین $O^{18}\delta$ نشان‌دهنده تأثیر آبگونهای جوی در

منطقه بوده و ترکیب آن با آبگونها مانند $\text{Al}^{3+}/\text{Fe}^{3+}$ و در نتیجه کاهش عضو انتهایی آندرادیت، در سری محلول جامد اوگراندیت، ایفا کرده است. یکی دیگر از دلایل ناچیه‌بندی رشدی نوسانی در گارنت‌هایی که با تغییرات ناگهانی در ترکیب شیمیایی همراه هستند، ناامیختگی در سیستم دوتایی گروسولار-آندرادیت است. فقدان ترکیب شیمیایی مشخصی از محلول جامد سری گراندیت، در دماها و فشارهای مختلف توسط عدهای از محققان گزارش شده است. برای مثال هاکنهولز و فر [۴۲] با آزمایش‌های تجربی دریافتند که ناامیختگی در سیستم گراندیت در حدود 300°C و فشار بیش از 3 kbar با دمای بحرانی 450°C تا 500°C به وقوع می‌پیوندد. این ناامیختگی در محدوده ترکیبی بین $<0.5 < X_{\text{Grs}} < 0.8$ وجود دارد. انجی و ورسین [۴۴] وجود ناامیختگی را در دمای 350°C و در محدوده ترکیبی $0.65 < X_{\text{Grs}} < 0.9$ گزارش کردند.

نمودار تغییرات Al و Fe (شکل ۶) نشان می‌دهد که میزان این دو عنصر در مرکز بلور به طور ناگهانی تغییر و جانشین یکدیگر می‌شوند. این می‌تواند ناامیختگی در سیستم گراندیت را نشان دهد. اما این جانشینی در حاشیه‌های بلور کمتر می‌شود که می‌تواند به دلیل تغییر ترکیب آبگونها موجود در محیط هنگام رشد بلور باشد.

شواهد کانی‌شناسی در اسکارنهای شمال شرق جوینان گویای آن است که تغییر در ترکیب آبگونهای گرمابی و شرایط حاکم بر آنها در زمانهای متفاوت وجود داشته است. در نمونه‌های حاوی گارنت‌های زونه، رگچه‌های اپیدوت و رگچه‌های کوارتز و کلسیت دربردارنده فرو اکتینولیت گارنت‌های زونه را قطع کرده‌اند. هر یک از این دو کانی در فوگاسیته اکسیژن خاص خود به وجود می‌آیند [۴۵]. لذا حضور این دو کانی در اسکارنهای شمال شرق جوینان گویای عدم پایداری شرایط $f\text{O}_2$ و در نتیجه شرایط آبگون در منطقه است. تبدیل پیروکسن و تشکیل گارنت نسل دوم نیز دلیلی بر تغییر شرایط حاکم بر محیط است. لذا به نظر می‌رسد ساختمان منطقه‌ای گارنتها به دلیل ناامیختگی در سیستم گراندیت آغاز شده و سپس تحت تأثیر تغییر ترکیب آبگونها محیط ادامه یافته است.

ساختمان منطقه‌ای و گرادیان دمایی

ساختمان منطقه‌ای گارنت تنها به طور موضعی و در امتداد شکستگی‌ها در اثر نفوذ محلولهای ثانویه تغییر کرده است (شکل ۷) و در اکثر موارد، ساختمان منطقه‌ای در گارنت‌های مطالعه شده در حد میکرون حفظ شده است. این گویای آن است که بلورهای گارنت تحت تأثیر فرایند نشر قرار نگرفته‌اند. بدین معنی که سردشدن بلورهای گارنت پس از تشکیل بسیار سریع نبوده

و گرادیان دمایی بین حاشیه بلور و مرکز آن به وجود نیامده است. وجود شواهد بافتی و پاراژنز کانیها مانند تبدیل برخی از پیروکسینها در تشکیل نسل دوم گارنت نیز نشان‌دهنده کندبودن فرایند سردشدن توده و فرصت کافی برای تبدیل کانیهایست. تغییرات ساختمان منطقه‌ای در حاشیه شکستگیها گویای حضور و گردش محلولها در سنگ و امکان واکنشهای برگشتی در حضور آبگون است. از طرفی نفوذ توده آذرین و تشکیل اسکارنهای آخرين پدیده مهم ماگماتیسم و متامورفیسم اتفاق افتاده در منطقه است، زیرا در صورت وجود دگرگونیهای ناحیه‌ای و یا فازهای بعدی پلوتونیسم در منطقه، تغییرات گرادیان دمایی باعث به وجود آمدن پدیده نشر در گارنتهای می‌شد و امکان حفظ ساختمان منطقه‌ای آنها بدین ترتیب میسر نبود.

برداشت

در اسکارنهای شمال شرق جوینان، دو نسل گارنت همراه با کانیهای پیروکسن، کلسیت، کوارتز، اپیدوت، فرواکتینولیت، ایدوکراز و اسفن مشاهده‌اند. گارنتهای نسل اول در مطالعه میکروسکوپی زونه هستند. گارنتهای نسل دوم از نوع آندرادیت بوده و همسانگرد هستند.

تجزیه نقطه‌ای SEM که به منظور تعیین نوع ساختمان منطقه‌ای بر گارنتهای نسل اول اسکارنهای شمال شرق جوینان انجام شده نشان داده که گارنتهای، دارای زون‌بندی نوسانی هستند و مرز بین زونها ناگهانی بوده که نشان‌دهنده تغییرات ناگهانی در ترکیب شیمیایی مواد تشکیل دهنده است. تغییرات ناگهانی و نوسانی در میزان عناصر تشکیل‌دهنده زونها، گویای آن است که این نوع ناحیه‌بندی هنگام رشد کانی به وجود آمده است.

ساختمان منطقه‌ای شدید با ناامیختگی در سیستم دوتایی گروسولار- آندرادیت شروع شده و با تغییر در ترکیب آبگونهای گرمابی در اثر جریانهای همرفتی در منطقه، خروج مدام آبگونها از محیط و ورود آبگونهای خارجی ادامه یافته است.

گارنتهای نسل دوم در اثر افزایش fO_2 در محیط و یا کاهش دما از بلورهای پیروکسن به وجود آمده‌اند.

دوره‌های متناوب جریان آبگون در سیستم حاکم بر اسکارنهای، می‌تواند با دوره‌های جوشش همراه باشد. پدیده جوشش سبب افزایش fO_2 شده و موجب افزایش آندرادیت در سری محلول جامد اوگراندیت می‌شود و در فاصله زمانی بین این دوره‌ها عضو انتهایی گروسولار به دلیل کاهش fO_2 ، افزایش می‌یابد.

ساختمان منطقه‌ای گارنتهای به طور موضعی در اثر نفوذ آبگونها از بین رفته است. اما این تغییرات تنها محدود به اطراف شکستگیهای است.

پدیده نشر در گارنتها دیده نمی شود. لذا سردشدن اسکارنهای سریع نبوده و گارنتها تحت تأثیر گرادیان گرمایی ثانویه قرار نگرفته‌اند.

مراجع

- [1] Atherton M. P., Edmunds W. M., "A electron Microprobe Study of some Zoned garnets from metamorphic rocks", Earth Planet. Sci. Lett. (1966) pp. 185-193.
- [2] Banno S., "Notes on Rock Forming minerals, Zonal structure of pyralspit in Sanbagawa schists in the Bessi area, Shikoku", J. Geol. Soc. Japan 71 (1965) pp. 185-188.
- [3] Chinner, G.A., "Almandine in thermal aureoles", J. Petrol. 3 (1962) pp. 316–340.
- [4] Debethune P., Goossens P., Berger P., "Emploi des grenats zonaires comme indicateur du degré de métamorphisme", C. R. Acad. Sci. Paris 260 (1965) 6940–6949.
- [5] Evans B. W., Guidohi C. V., "The sillimanite – Potash feldspar isograd in western Maine", USA. Contrib. Mineral. Petrol. 12 (1966) pp. 25–62.
- [6] Harte B., Henley K. J., "Occurrence of compositionally zoned almanditic garnets in regionally metamorphosed rocks", Nature 210 (1966) 689.
- [7] Hollister L. S., "Garnet Zoning; An interpretation based on the Rayleigh fractionation model", Science 154 (1966) 1647–1651.
- [8] Yardley B. W. D., "An empirical study of diffusion in garnet", American Mineralogist 62 (1977) 793-800.
- [9] Blackburn W. H., "Zoned and unzoned garnets from the Grenville Gneisses around Gananoque Ontario", Canadian Mineral. 9 (1969) 691–698.
- [10] Grant J. A., Weiblen P. W., "Retrograde zoning in garnet near the end Sillimanite isograd", Am. J. Sci, (1971) pp. 270-296.
- [11] Massachusetts, "Contrib. Mineral", Petrol. 30 (1971) pp. 177–195.
- [12] Hwang S. L., Yui T. F., Chu H. T., Shen P., "Submicron polyphase inclusions in garnet from the Tananao Metamorphic Complex, Taiwan, a key to unraveling other wise unrecognized metamorphic events", J. of Metamorphic Geology 19 (2001) pp. 599-605.

- [13] Whitney D. L., Mechum T. A., Dilek Y., Kuehner S. M., "Modification of granet by fluid infiltration during regional metamorphism in garnet through sillimanite-zone rocks", Dutchess county, New York, American Mineralogist 81 (1996) 696-706.
- [14] Frost B. R., Tracy R. J., "P-T paths from zoned garnets , Some minimum criteria", American J. of Science 291 (1991) pp. 917-939.
- [15] Hwang S. L., Shen P., Yui T. F., Chu H. T., "On the mechanism of resorption zoning in metamorphic garnet", J. metamorphic Geol. 21 (2003) pp. 761-769.
- [16] Spear F. S., Peacock S. M., "Metamorphic pressure temperature-time paths. Short Course in Geology", 7. American Geophysical Union (1989) Washington, DC.
- [17] Spear F. S., Selverstone J., Hickmott D., Crowley P., Hodges K. V., "P-T paths from garnet zoning, a new technique for deciphering tectonic processes in crystalline terranes", Geology 12 (1984) pp. 87-90.
- [18] Berberian M., King G. C. P., "Towards a paleogeography and tectonic Evolution of Iran", Canadian J. of Earth Sciences V.18, No.2 (1981) pp. 210-265.
- [19] Jung D., Kursten M., "Post mesozoic Volcanism in Iran and its relation to the subduction of the Afro-Arabian-Under the Eurasian Plate" (1975).
- [20] Karig D. E., "Origin and development of marginal basin in the western Pacific", J. Geophys. Res. 76 (1971) 2542-2561.
- [21] Moine Vaziri H., "Volcanisme tertaire et quaternaire en Iran. Theses Etat", Univer Paris-Sud, Orsay (1985).
- [22] Nowroozi A. A., "Seismotectonics of the Persian Plateau, Eastern Turkey, Caucasus and Hindu-Kush region", Bull. of the Seismological society of America 61, No.2 (1971) 317-341.
- [23] Takin M., "Iranian geology ans Zeih Continental drift in middle East", Geol. Survy, Iran, noten 81 (1971).
- [۲۴] حسن زاده ج.، "مطالعه زمین‌شناسی و پetroلوزی سنگهای آذرین ناحیه قم‌صرکاشان، ایران مرکزی"، پایان نامه کارشناسی ارشد، دانشگاه تهران (۱۳۵۷).
- [۲۵] نوربخش پ.، "مطالعه کانی‌شناسی، پتروگرافی و پترو-وژی اسکارنهاي شرق قهروند"، پایان نامه کارشناسی ارشد، دانشگاه آزاد، واحد شمال (۱۳۷۹).
- [26] Atherton M. P., "The variaty in garnet biotite and chlorite composite in Medium grade pelitic rocks from the Dalradian, Scotland, with

- particular reference to Zonation in garnet", Contrib. Mineral Petrol. 18 (1968) pp. 347-371.*
- [27] Evans B. W., "Microprobe study of Zoning in eclogite garnets", Geol. Soc. Am. Spec. Paper 87 (1966) 54.
- [28] Hollister L. S., "Contact metamorphism in the kwoiek area of British columbia; An end-membler of the metamorphic process", Geol. Soc. Am. Bull. 80 (1969) 2464-2494.
- [29] Reeder R. J., Grams J. C., "Sector Zoning in Calcite cement Crystals, Implications for trace element distributions in carbonates", Geochimica et Cosmochimica Acta 51 (1987) pp. 187-194.
- [30] Reeder R. J., Prosky J. L., "Compositional sector zoning in dolomite", J. of Sedimentary Potrology 56 (1986) 137-247.
- [31] Bottinga Y., Kudo A., Weill D., "Some Observations of oscillatory Zoning and Crystallization of magmatic plagioclase", American Mineralogist 51 (1966) pp. 792- 806.
- [32] Sibley D. F., Vogel T. A., Walther B. M., Byerly G., "The Origin of Oscillatory Zoning in Plagioclase, Adiffusion and growth controlled model", American J. of Science 276 (1976) pp. 275-281.
- [33] Clechenko C. C., Valley J. W., "Oscillatory zoning in garnet from the Willsboro Wollastonite Skarn, Adirondack Mts, New York, a record of shallow hydrothermal processes preserved in a granulite facies terrane", J. metamorphic Geol. 21 (2003) pp. 771-784.
- [34] Jamtveit B., "Oscillatory Zonation Patterns in hydrothermal grossular – andradite garnet, Nonlinear behavior in regions of immiscibility", Am. Mineralogist 76 (1991) 1319–1327.
- [35] Chamberlain C. P., Conrad M. E., "Oxygen isotope zoning in garnet", Science 254 (1991) 403-406.
- [36] Crowe D. E., Riciputi L. R., Bezenek S., Ignatiev A., "Oxygen isotope and trace element zoning in hydrothermal garnets, Windows into large-scale fluid flow behavior", Geology 29 (2001) pp. 479-482.
- [37] Jamtveit B., Hervig R. L., "Constraints on transport and Kinetics in Hydrothermal systems from Zoned Garnet Crystals", Science 263 (1994) pp. 505–508.

- [38] Jamtveit B., Wogelius R. A., Fraser D. G., "Zonation Patterns of skarn garnets, Records of hydrothermd system evolution", Geology 21 (1993) pp. 113-116.
- [39] Lee C. G., Atkinson W. W., "Geochemistry of zoned garnets from the San Pedro mine, Sante Fe Country", New Mexico, New Mexico Geology 7 (1985) pp. 69-74.
- [40] Nakano T., Takahara H., Nishida N., "Intracrystalline distribution of major elements in zoned garnet from skarn in Chichibu mine, Central Japan, Illustration by color coded maps", Canadian Mineralogist 27 (1989) pp. 499-507.
- [41] Yardley B. W. D., Rochelle C. A., Barnicoat A. C., Lloyd G. E., "Oscillatory Zoning in metamorphic minerals, An indicator of infiltration metasomatism", Mineralogical Magazine 55 (1991) pp. 357-365.
- [42] Deer W. A., Howie R. A., Zussman J., "Rock-Forming Minerals", Orthosilicates Garnet Groups 1A (1989) pp. 467 – 657.
- [43] Huckenholz H. G., Fehr K. T., "Stability relationships of grossular + quartz + Wollastonite + anorthite II, The effect of grandite – hydrgrandite Solid Solution", Neues Jahrbuch für Mineralogie abhandlungen 145. (1982). pp. 1–33.
- [44] Engi M., Wersin P., "Derivation and application of a solution model for Cacic garnet", Schweizerische Mineralogische and pertrographische Mitteilungen 67 (1987) pp. 53- 73.
- [45] Spear F. S., "Metamorphic phase equilibria and pressure-temperature-time paths", Mineralogical Society of America (1993).

